ния матрицы разрешающей системы уравнений для задач строительной механики // Пространственные конструкции в Красноярском крае. — Красноярск, 1980. — Вып. 13. — С. 152—156. З. А.с. 1234251 СССР, МКИ³ В 60 Р 3/40. Коник автопоезда для перевозки длинномерных грузов.

УДК 634.0.323

С.С. ЛЕБЕДЬ

ОСНОВЫ РАСЧЕТА ОТСЕКАТЕЛЕЙ

Для большинства процессов первичной обработки и переработки круглых лесоматериалов требуется поштучная загрузка технологического оборудования. В этих целях используются загрузочные устройства с отсекателями различных конструкций [1,2]. Наиболее распространены шиберные (рис. 1, a) отсекатели с возвратно-поступательным движением рабочего органа; рычажные (рис. 1, a) с непрерывным движением рычагов-упоров, к которым можно отнести и гребенчатые разобщители ЛТ-80 и ЛО-108 конструкции СевНИИПа; секторные (рис. 1, a) с возвратно-вращательным движением и дисковые (рис. 1, a) с вращательным движением рабочих органов.

Анализ конструкций и принципа действия данных отсекателей показал, что для них можно применить общие расчетные схемы (рис. 2) и получить аналитические зависимости, выражающие связи между основными парамет-

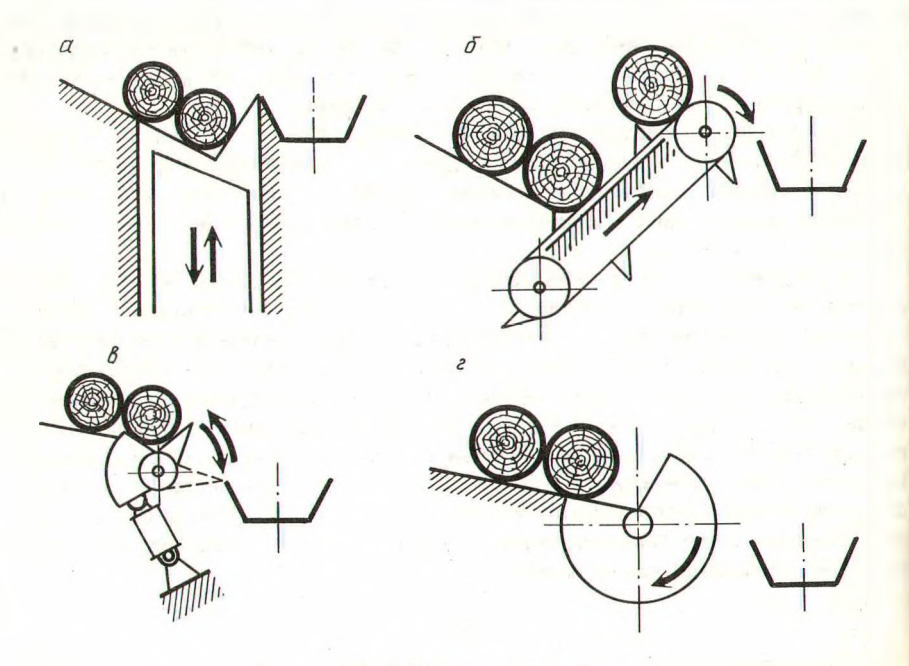
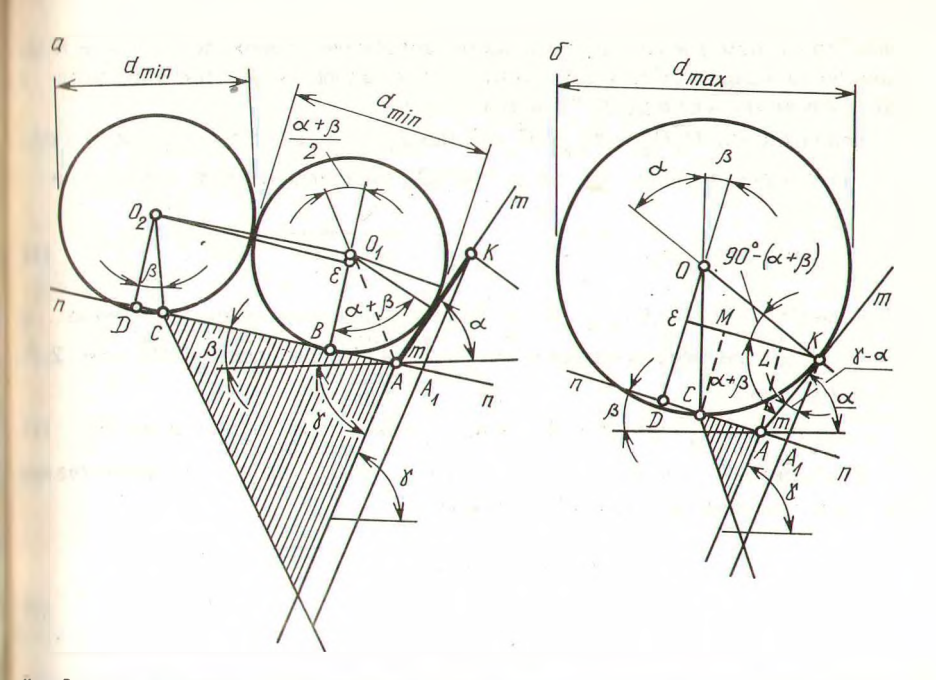


Рис. 1. Типы отсекателей.



 \hbar ис. 2. Общие расчетные схемы отсекателя для заготовок минимального (a) и максимального (δ) диаметров.

рами рабочих органов отсекателей и бревен. При этом главной задачей являетно определение оптимальных линейных и угловых параметров приемного гнезна и рабочего органа отсекателя в функции от параметров заготовок.

Критерием оптимизации будет надежная поштучная выдача бревен в заданном интервале диаметров от минимального d_{\min} до максимального d_{\max} . Плоскости nn поверхности рабочего органа отсекателя и mm поверхности вызодной опоры создают приемное гнездо (см. рис. 2), в которое поступают затими плоскостями с горизонтом, и от длины l или высоты h рабочего органа зависит разрешающая способность n отсекателя, определяемая отношением милускаемых d_{\max} к d_{\min} , при которых обеспечивается надежная поштучная выдача бревен. Для учета сбежистости, кривизны и других пороков заготовок и обеспечения надежной поштучной выдачи в расчетах принимаются следующие значения диаметров: максимального d_{\max} на 10 $^{\circ}$ больше, а минимального d_{\min} на столько же меньше заданных.

Аналитические зависимости получаем из условия, что при отсекании одний из двух расположенных рядом заготовок минимального диаметра (рис. π) центр тяжести второй O_2 должен находиться на одной вертикали с коншим рабочего органа, т.е. с точкой касания C. При отсекании заготовки максинильного диаметра центр тяжести O (рис. 2, 6) должен лежать на одной вертини с точкой касания C рабочего органа. В процессе функционирования рабочий орган может совершать как возвратно-поступательное движение, переме-

щаясь под углом γ к горизонту и достигая рабочей поверхностью точки K на клонной площадки сброса заготовки, так и непрерывное. При этом угол уможет изменяться от α до 90 $^\circ$, не влияя на n.

Если отрезки $\overline{O_1O_2}=d_{\min}$, $\overline{O_1B}=0.5\,d_{\min}$ и $\overline{O_2D}=0.5\,d_{\min}=\cos\beta$ (рис 2, a) перпендикулярны к nn , a отрезок EO_2 параллелен nn , to t=AC, или

$$1 = 0.5d_{\min} \left(\text{tg} \frac{\alpha + \beta}{2} + \sqrt{4 - (1 - \cos\beta)^2} - \sin\beta \right). \tag{1}$$

 \overline{D} верпендикулярны соответственно м \overline{D} перпендикулярны соответственно \overline{D} перпендикулярны \overline{D} (рис. 2, б) \overline{D} то \overline{D} (рис. 2, б)

$$I = 0.5 d_{\text{max}} \left(\sin \left(\alpha + \beta \right) - \sin \beta - \left(\cos \beta - \cos \left(\alpha + \beta \right) \cot \beta \left(\alpha + \beta \right) \right). \tag{2}$$

Учитывая, что разрешающая способность $n = d_{\text{max}}/d_{\text{min}}$, из равенства при вых частей выражений (1) и (2) получим

$$n = \frac{\operatorname{tg} \frac{\alpha + \beta}{2} + \sqrt{4 - (1 - \cos \beta)^2 - \sin \beta}}{\sin (\alpha + \beta) - (\cos \beta - \cos (\alpha + \beta)) \operatorname{ctg} (\alpha + \beta) - \sin \beta}.$$
 (3)

Расчетную длину l рабочего органа отсекателя определяем по зависимостям (1) или (2), если $\gamma=\alpha$, т.е. если рабочий орган движется по направлинию mm под углом α к горизонту. Эти зависимости справедливы также дл разобщителей гребенчатого типа, у которых концы гребней рабочей площадк находятся в плоскости mm.

При $\gamma > \alpha$ расчетная длина рабочего органа

$$t = 0.5 d_{\text{max}} \left(\sin \left(\alpha + \beta \right) - \sin \beta - \left(\cos \beta - \cos \left(\alpha + \beta \right) \right) \cot \left(\alpha + \beta \right) + \left(\cos \beta - \cos \left(\alpha + \beta \right) \right) \frac{\sin \left(\gamma - \alpha \right)}{\sin \left(\alpha + \beta \right) \sin \left(\gamma + \beta \right)}$$

$$(4)$$

Высота рабочего органа отсекателя

$$h = l \sin (\gamma + \beta). \tag{5}$$

Формулы (3) – (5) обобщающие. Очевидно, что при $\gamma = \alpha$ из зависимост (4) получим (2), а из (5) соответствующее значение высоты рабочего органа

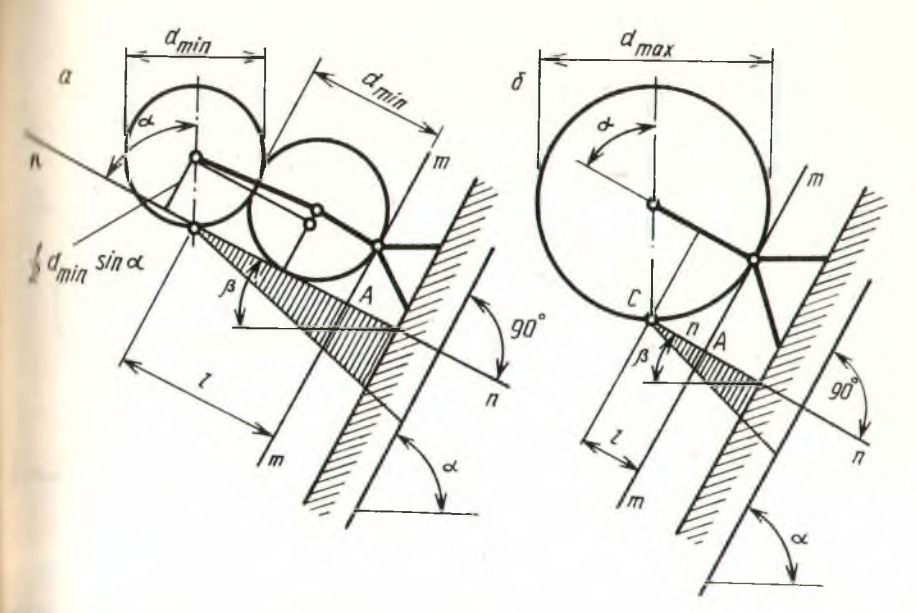
$$h = 1 \sin (\alpha + \beta). \tag{6}$$

Из расчетной схемы отсекателя при $\gamma = \alpha$ и $\beta = 90$ ° — α видно, что для от секания заготовки минимального диаметра (рис. 3, a)

$$1 = 0.5 d_{\min} \left(1 + \sqrt{4 - \left(1 - \sin \alpha \right)^2} - \cos \alpha \right), \tag{7}$$

а для отсекания заготовки максимального диаметра (рис. 3, б)

$$t = 0.5 d_{\text{max}} (1 - \cos \alpha)$$
. (8)



Мак. 3. Расчетные схемы отсекателя при пп ⊥ mm для заготовок минимального. максимального (б) диаметров.

Приравняв правые части выражений (7) и (8), находим разрешающую пособность отсекателя:

$$n = 1 + \frac{\sqrt{4 - (1 - \sin \alpha)^2}}{1 - \cos \alpha} \tag{9}$$

В таком случае высота рабочего органа

$$h = l. (10)$$

Однако формулы (7) — (10) можно получить и из обобщающих выражеиий (1) – (6). Так, при $\gamma = \alpha$ и $\beta = 90$ ° − α из выражения (1) ⇒ (7), из (2) или (4) ⇒ (8), из (3) ⇒ (9), а из (5) или (6) ⇒ (10).

Рассмотрим еще один частный случай (рис. 4), когда $\gamma = \alpha, \beta = 0, l = AC$. Из рис. 4, а следует

$$l = d_{\min} \left(1 + 0.5 \operatorname{tg} \frac{\alpha}{2} \right),$$
 (11)

∎ из рис. 4. б

или

$$t = 0.5 d_{\text{max}} \operatorname{tg} \frac{\alpha}{2} . \tag{12}$$

Из правых частей равенств (11) и (12) получаем

$$n = \frac{1 + 0.5 \text{ tg} \frac{\alpha}{2}}{0.5 \text{ tg} \frac{\alpha}{2}}$$

n=1+2 ctg $\frac{\alpha}{2}$.

$$n = 1 + 2 \operatorname{ctg} \frac{a}{2} \,. \tag{13}$$

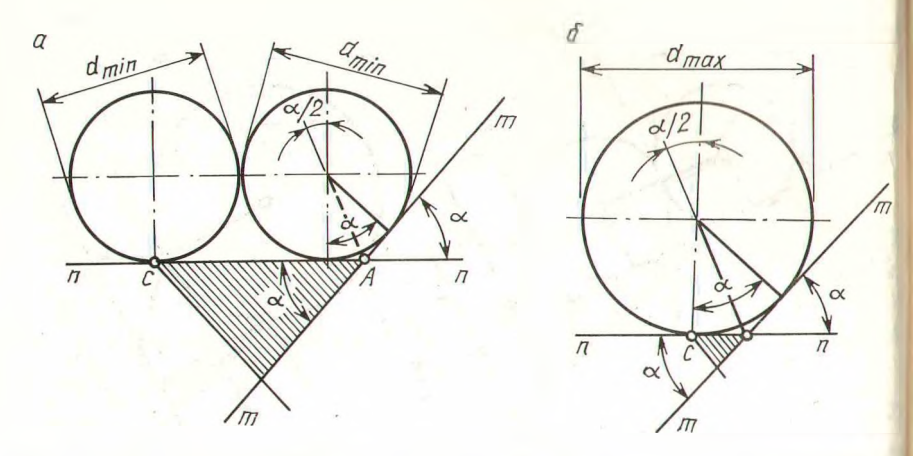


Рис. 4. Расчетные схемы отсекателя при горизонтальном nn для заготовок минимального (δ) диаметров.

Высота рабочего органа

$$h = l\sin\alpha$$
. (14)

Следовательно, выражения (11) — (14) можно получить из ранее выведенных общих зависимостей. При $\gamma=\alpha$ и $\beta=0$ из (1) \Rightarrow (11) и (2) или (4) \Rightarrow (12) из (3) \Rightarrow (13), а из (5) \Rightarrow (14).

Рассмотренные частные случаи конструктивного исполнения отсекателе подтверждают обобщающий характер полученных выше зависимостей (1)- (5), выражающих взаимосвязь между основными параметрами заготовок отсекателей.

При проектировании отсекателей вначале, исходя из условий эксплуатации, следует задаться одной из конструктивных схем отсекателя, а затем определить необходимую разрешающую способность отсекателя как отношени d_{\max} к d_{\min} . Далее, пользуясь зависимостью (3) и задаваясь рядом значени углов α и β в рекомендуемых пределах (30 ° $\leq \alpha \leq$ 90 °, 0 $\leq \beta \leq$ 30 °), най дем те две пары их значений, при которых обеспечивается необходимая разрешающая способность. Приняв значения углов α и β одной из пар за расчетные конструктивно — значение угла γ , по формулам (4) и (5) определяем ℓ и ℓ т.е. основные размеры рабочего органа отсекателя.

Проанализировав работу отсекателей, видим, что после отсекания очеред ного бревна и возвращения рабочего органа отсекателя в исходное положени равновесие ряда заготовок, находящихся на входной опоре, нарушается и они устремляются в направлении гнезда отсекателя. При встрече с выходной опорой происходит удар, который, кроме отрицательного воздействия на конструкцию отсекателя, может вызвать образование в гнезде двухрядного слоя и тем самым снизить надежность поштучной выдачи заготовок. Избежать этого явления, а вернее свести к минимуму силу удара бревен об опорную по верхность, позволяет питатель с вращающимся рабочим органом, имеющим улиткообразную форму поперечного сечения (рис. 5).

Расчет отсекателя данного типа осуществляем по полученным нами ана

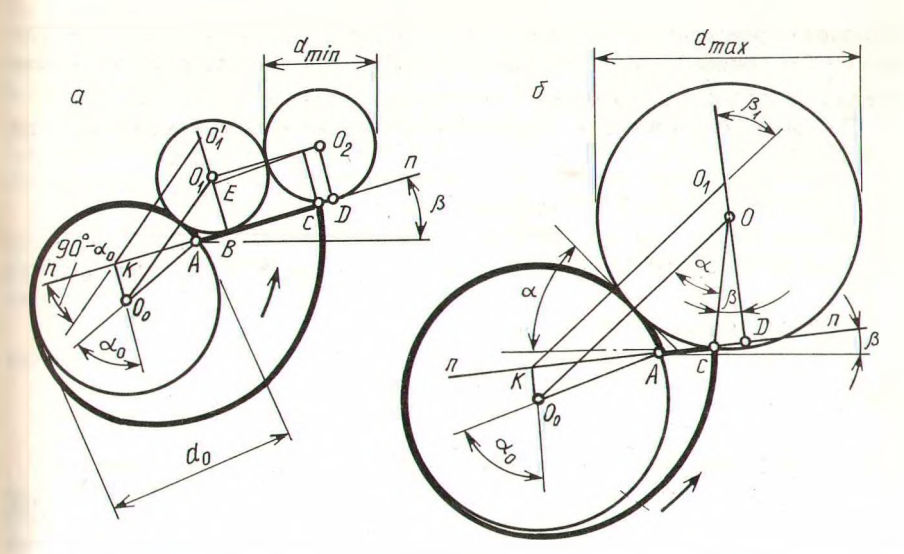


Рис. 5. Расчетные схемы улиткообразного отсекателя для заготовок минимального (a) и максимального (δ) диаметров.

литическим зависимостям. Длину рабочей приемной поверхности (длина выступа) улиткообразного органа (рис. 5, a), обеспечивающей отделение одной из двух расположенных рядом заготовок минимального диаметра, можно определить по зависимости

$$\begin{split} l &= AC = AB + BC = (KB - KA) + (BD - CD) = \\ &= (\sqrt{(KO_1' - (BO_1')^2)^2} - O_0 A \sin \alpha_0) + (\sqrt{(O_1O_2)^2 - (BO_1 - BE)^2} CD) = \\ &= (\sqrt{(\frac{1}{2} d_{\min} + \frac{1}{2} d_0)^2 - (\frac{1}{2} d_{\min} + \frac{1}{2} d_0 \cos \alpha_0)^2} - \\ &- \frac{1}{2} d_0 \sin \alpha_0) + (\sqrt{d_{\min}^2 - (\frac{1}{2} d_{\min} - \frac{1}{2} d_{\min} \cos \beta)^2} - \\ &- \frac{1}{2} d_{\min} \sin \beta) \end{split}$$

или

$$1 = 0.5 d_{\min} \sqrt{(1 + n_{\min})^2 - (1 + n_{\min} \cos \alpha_0)^2 + 1} + \sqrt{4 - (1 - \cos \beta)^2 - n_{\min} \sin \alpha_0 - \sin \beta)},$$
 (15)

где $d_0^{}$ — диаметр начальной окружности рабочего органа; $n_{\min}^{}$ — отношение $d_0^{}$ к $d_{\min}^{}$; $a_0^{}$ — центральный угол, определяющий положение приемной рабочей поверхности nn относительно начальной окружности рабочего органа (он

образован проведенными из центра O_0 начальной окружности перпендикуляром O_0K к поверхности nn и радиусом O_0A в точку пересечения nn с начальной окружностью); β — угол наклона поверхности nn к горизонту.

По расчетной схеме для отделения заготовки максимального диаметра (рис. 5, 6)

$$l = AC = KD - KA - CD = \sqrt{(KO')^2 - (DO')^2} - O_0 A \sin \alpha_0 - CO \sin \beta = \sqrt{(\frac{1}{2} d_{\text{max}} + \frac{1}{2} d_0)^2 - (\frac{1}{2} d_{\text{max}} \cos \beta + \frac{1}{2} d_0 \cos \alpha_0)^2} - \frac{1}{2} d_0 \sin \alpha_0 - \frac{1}{2} d_{\text{max}} \sin \beta$$

или

$$t = 0.5 d_{\text{max}} (\sqrt{(1 + n_{\text{max}})^2 - (\cos\beta + n_{\text{max}} \cos\alpha_0)^2} - n_{\text{max}} \sin\alpha_0 - \sin\beta),$$
 (16)

где n_{\max} — отношение d_0 к d_{\max} .

Формулу для определения разрешающей способности *п* получим из равенства правых частей выражений (15) и (16):

$$n = \frac{\sqrt{(1 + n_{\min})^2 - (1 + n_{\min}\cos\alpha_0)^2 + 4 - (1 - \cos\beta)^2 - n_{\min}\sin\alpha_0 - \sin\beta}}{\sqrt{(1 + n_{\max})^2 - (\cos\beta + n_{\max}\cos\alpha_0)^2 - n_{\max}\sin\alpha_0 - \sin\beta}}$$
(17)

По рис. 5, δ , α (угол встречи заготовки с опорной поверхностью рабочего органа) можно представить как $\alpha=\beta_1-\beta$ или, определив β_1 из ΔKO_1P , находим

$$\alpha = \arccos\left(\frac{\cos\beta + n_{\max}\cos\alpha_0}{2\left(1 + n_{\max}\right)}\right) - \beta. \tag{18}$$

При расчете отсекателей с улиткообразным рабочим органом, исходя из потребностей производства, устанавливаем d_{\max} и d_{\min} а из конструктивных соображений, производительности отсекателя и мощности его привода — диаметр начальной окружности рабочего органа d_{\min} . Далее определяем значения n, n_{\min} и n_{\max} и подставляем их в выражение (17).

Рассматривая выражение (17) как тождество, следует найти соответствующие ему значения углов α_0 и β . При этом необходимо проверить соответствие значений α_0 и β неравенству $\alpha \geqslant \pi/6$ или

$$\arccos (0.5 \frac{\cos \beta + n_{\text{max}} \cos \alpha_0}{1 + n_{\text{max}}}) - \beta \geqslant \frac{\pi}{6}, \qquad (19)$$

чтобы предотвратить самопроизвольное перекатывание заготовки через рабочий орган.

Длину выступа 1 определяем по формуле (16). Мощность привода рассчитываем по аналогии с расчетом других отсекателей с вращающимся рабочим органом.

Наклонные опоры, стыкующиеся с рабочим органом, целесообразно смещать книзу от линии nn на расстояние d_{\max} (1 — $\cos \beta$), что обеспечит надежное поштучное отсекание, соответствующее результатам расчета.

Рассмотренная конструкция улиткообразного рабочего органа отсекателя после отделения очередной заготовки обеспечивает плавное смещение в сторону гнезда оставшихся выше заготовок, т.е. улучшает динамику работы отсекателя

Полученные аналитические зависимости (1) - (19) служат основой для расчета большинства отсекателей.

ΠИΤΕΡΔΤΥΡΔ

1. Залегаллер Б.Г., Ласточкин П.В. Механизация и автоматизация работ на лесных складах. — М.: Лесн. пром-сть, 1973. — 408 с. 2. Рах манов С.И., Гороковский К.Ф., Лифшиц И.В. Основы расчета оборудования лесозаготовок. — М.: Лесн. пром-сть, 1973. — С. 121—124.

УДК 625.14.033.3:625.12.033.37

Л.Ф. ДОРОНИН, А.В. ЖУКОВ, К.Б. АБРАМОВИЧ

ОПРЕДЕЛЕНИЕ ПРИВЕДЕННОЙ МАССЫ ДОРОЖНОЙ КОНСТРУКЦИИ

В связи с повышением интенсивности дорожного движения, скоростных показателей и грузоподъемности автопоездов все более актуальной становится оценка динамического взаимодействия транспортных средств и дороги, при котором в колебание вовлекается значительный объем материалов, составляющих грунтовое основание и дорожную одежду.

По данным литературных источников, при разработке математических моделей вертикальной динамики транспортных средств, и в частности лесовозных автопоездов, как правило, не учитываются упругие свойства дорожных материалов и их приведенные массы. Исследования, выполненные некоторыми авторами [1, 2], показывают, что способы определения приведенных масс могут быть различными. Рассмотрим один из возможных способов определения приведенной к колесам автотранспортного средства массы двухслойной дорожной конструкции, которая представлена однородным упруговязким слоем и полупространством и на которую действует постоянная во времени вертикальная нагрузка, равномерно распределенная по площади круга радиусом *R* (рис. 1).

Предположим, что в колебаниях участвует только масса слоев дорожной конструкции в виде цилиндра, расположенного под отпечатком колеса. Перемещения в центре обозначим $W_{_{0}}$, а на краю отпечатка $W_{_{p}}$. Тогда перемещение